



Figura 13.1. Dos modelos de elefante: ¿cuál es mejor?

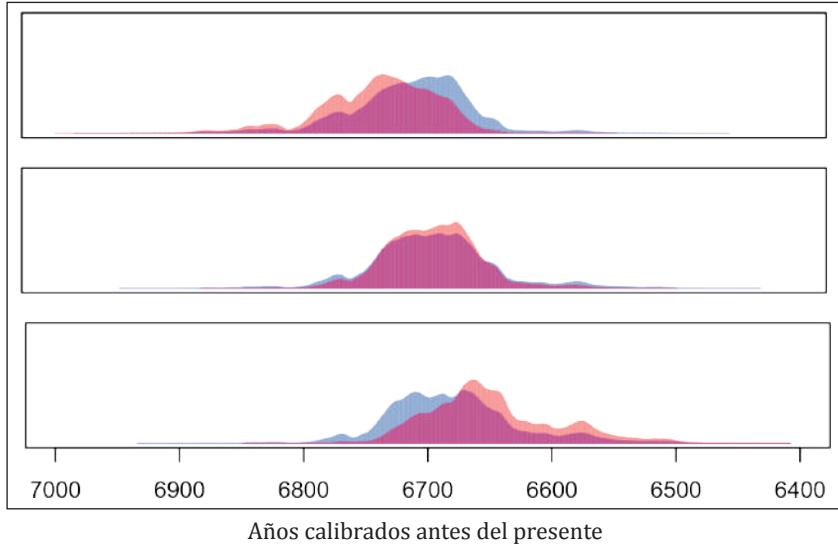


Figura 13.5. El resultado de calibrar las tres determinaciones por radiocarbono, 5900 ± 50 BP, 5870 ± 50 BP y 5850 ± 50 BP. Las dos diferentes distribuciones de probabilidad que aparecen en cada gráfico distinguen, por un lado, la distribución calculada de la datación original, que no tiene en cuenta la información estratigráfica. En segundo lugar, y parcialmente superpuesta a la primera, figura la distribución de probabilidad resultante cuando se ha incluido la relación ordinal estratigráfica con las otras dataciones.

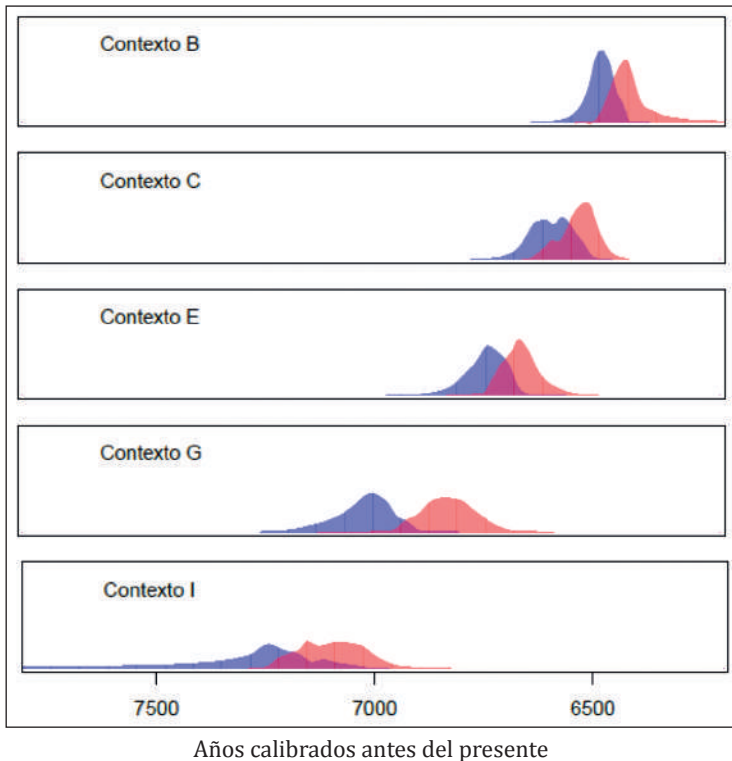


Figura 13.7. Estimación de fechas calibradas de los límites entre contextos provenientes de la figura 3b. Fechas iniciales a la izquierda y finales a la derecha.

Run: /ibercono/Model24 oxcal

```
Plot()
{
  Sequence("Reina Amalia 31-33")
  {
    Boundary("Construcción");
    Sequence("Uso")
    {
      R_Date("120", 5750, 40);
      R_Date("95", 5750, 30);
    };
    Boundary("Abandono");
    Boundary("Formación costras calcáreas");
    Phase("Costras calcáreas")
    {
      R_Date("105", 5730, 30);
      R_Date("63", 5700, 30);
    };
    Boundary("Final costras calcáreas/Enterramientos");
    Phase("Enterramientos")
    {
      R_Date("Unidad Funeraria I", 5720, 40);
    };
    Boundary("Final enterramientos/deposiciones");
    Phase("Deposiciones")
    {
      R_Date("59", 5720, 30);
    };
    Boundary("2a/Deposición final");
    Phase("Deposición final")
    {
      R_Date("46", 5740, 40);
    };
    Boundary("Colmatación");
    Difference ("Duración uso", "Abandono", "Construcción");
    Difference ("Duración sedimentación", "Colmatación", "Abandono");
    Difference ("Duración formación costras", "Final costras calcáreas/Enterramientos", "Abandono");
    Difference ("Duración total", "Colmatación", "Construcción");
    Difference ("Duración segundo relleno", "Colmatación", "Final enterramientos/deposiciones");
    Boundary("Inicio enterramiento");
    Phase("Enterramiento")
    {
      R_Date("Unidad Funeraria III", 5620, 40);
    };
    Boundary("Final");
  };
};
```

Figura 15.1.3. Código del modelo utilizado.

```

Plot()
{
  R_Combine()
  {
    R_Date("X-001", 5120, 30);
    R_Date("X-002", 5100, 30);
    R_Date("X-003", 5150, 30);
    R_Date("X-004", 5130, 30);
  };
};

```

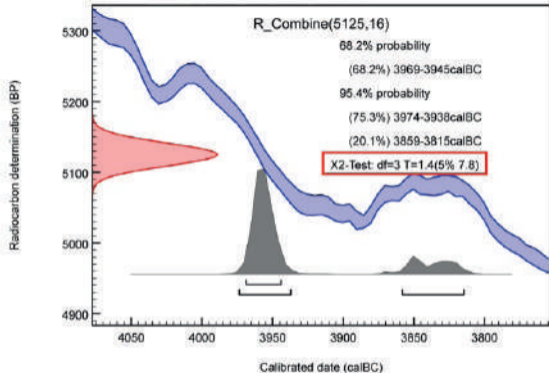


Figura 14.11. Código de OxCal y resultado del test de contemporaneidad usando el comando R_Combine.